

بررسی نوع کانه‌زایی، زمین شیمی دگرسانی و ارتباط طلا و عناصر همراه در منطقه هیزه جان (شمال غرب ایران)

* بهاءالدین نخجوانی، سید غفور علوی

گروه علوم زمین، دانشکده علوم طبیعی، دانشگاه تبریز

(دریافت مقاله: ۹۶/۶/۴، نسخه نهایی: ۹۶/۱۰/۲۳)

چکیده: منطقه مورد بررسی در شهرستان ورزقان و از توابع استان آذربایجان شرقی است. کانه‌زایی در منطقه هیزه‌جان از نوع طلا و در ارتباط با رگه و رگچه‌های سیلیسی و سیلیسی - کربناتی بوده که در داخل سنگ‌های آتش‌فشنای ائوسن با ترکیب غالب آندزیت رخ داده است. بارزترین دگرسانی‌های گسترش یافته در این منطقه، شامل دگرسانی‌های پروپیلیتی، آرژیلی و سیلیسی هستند. بر اساس بافت‌های برشی، شانه‌ای و رورشیدی کالنی‌های باطله کوارتز و کربنات در این رگه‌ها، تشکیل کانه‌های سولفیدی از نوع گالن- اسفالریت- کالکوپیریت- پیریت- تراویدریت، تشکیل کالنی‌های کاتولینیت و مونت موریلوبونیت در پهنه دگرسانی آرژیلی و تمرکز بیشتر رگه‌های کالنی‌سازی شده در نزدیکی دایک‌های ریز دیوریتی، نوع کانه‌زایی رخ داده در این منطقه از نوع کانه‌زایی طلای فراگرمایی سولفیداسیون حد بواسطه است و بررسی‌های آماری دو متغیره، تشکیل طلا و عناصر همراه فلزات پایه را در فازهای مختلف کانه‌زایی تایید می‌کند. همچنان در این منطقه نتایج، بررسی‌های زمین شیمی دگرسانی با بررسی‌های میکروسکوپی و تجزیه کالنی‌شناسی با پراش پرتوی X هم‌خوانی دارد.

واژه‌های کلیدی: هیزه جان؛ ورزقان؛ پروپیلیتی؛ آرژیلی؛ دگرسانی؛ زمین شیمی.

الیگو میوسن و دگرسانی‌های وسیع پیامد آن هستند [۲]. کانه‌زایی هیزه‌جان در اوخر دهه ۱۳۷۰ توسط سازمان زمین شناسی و اکتشافات معدنی کشور کشف شد و سپس عملیات اکتشافات مقدماتی، نیمه تفصیلی و تفصیلی، شامل تهیه نقشه‌های زمین شناسی - مکان‌نگاری، بررسی‌های زمین‌فیزیک، حفر تراشه به حجم ۱۱۰ متر مکعب و حفاری ۱۴ گمانه اکتشافی با عمق تقریبی ۴۵ تا ۱۱۱ متر، نمونه‌برداری از آن‌ها و تعیین عیار عناصر مهم کانه‌ساز انجام گرفت [۱۵]. اما طی این بررسی‌ها، نگرش جامعی پیرامون مطالعات زمین شیمی نظری مقایسه تغییرات کالنی‌شناسی با تغییرات زمین شیمیایی دگرسانی‌ها (کاهیدگی و افزودگی عناصر) و همبستگی عناصر مهم کانه‌ساز انجام نگرفته است که این موارد در این پژوهش بررسی می‌شوند.

مقدمه

منطقه مورد بررسی در طول‌های شرقی "۴۶° ۲۸' ۴۶" تا "۴۳° ۳۱' ۴۶" و عرض‌های شمالی ۲۰° ۳۶' ۰۵ تا ۳۸° ۳۸' ۰۵ در استان آذربایجان شرقی و ۲۶ کیلومتری شمال غرب شهرستان ورزقان واقع بوده و بخشی از پهنه البرز - آذربایجان [۱] و منطقه فلززایی اهر [۲] است. منطقه فلززایی اهر دربرگیرنده سیستم‌های پوروفیری مس \pm مولبیدن \pm طلای متعددی مانند سونگون [۴، ۳]، هفت چشمه [۵]، کیقال [۶] و مسجد داغی [۷]، سیستم‌های اسکارنی مس چون مزرعه [۸] و انجرد [۹]، سیستم‌های فراگرمایی طلا مثل زگلیک- ساریلار [۱۰]، میوه رود [۱۱-۱۲]، مسجد داغی [۱۳-۷] و صفائحانلو- نقدوز [۱۴] است. رخداد این کانه‌زایی‌ها به دلیل آتش‌خشان گسترده پالئوسن- ائوسن و در پی آن فعالیت نفوذی

به روش ضریب همبستگی اسپیرمن، می‌تواند برای تعیین هم‌فاز بودن و یا تعدد مراحل کانه‌زایی و حتی در تعیین مشابهت و یا تفاوت کمپلکس‌های حمل کننده فلزات مفید باشد. پس از آن، ۱۶ نمونه از پهنه‌های دگرسانی و سنگ‌های سالم در برگیرنده آنها برداشت و به روش فلوروسانس پرتو X (XRF) در آزمایشگاه دانشگاه صنعتی سهند تجزیه شدند (جدول ۲). در پایان پس از انجام ۶ مورد تجزیه به روش پراش پرتو ایکس (XRD) در سازمان زمین‌شناسی (جدول ۳) و تهیه و بررسی ۳۰ مقطع میکروسکوپی نازک و صیقلی، نوع کانه‌زایی، فازهای کانه‌زایی و زمین شیمی دگرسانی‌ها از نظر کاهیدگی و افزودگی عناصر به روش گرنت (Grant) بررسی شد.

روش بررسی

تعیین نوع کانه‌زایی طلا و ارتباط فضایی پهنه‌های دگرسانی ایجاد شده (پروپیلیتی، آرژیلی و سیلیسی) با کانه‌زایی و نیز همبزایی عناصر مهم کانه‌ساز، می‌تواند در اکتشافات تفصیلی منطقه مورد بررسی و همچنین عنوان الگویی برای اکتشاف در سایر مناطق، مورد استفاده قرار گیرد. در این بررسی، پس از شناسایی همه رگه‌های کانی‌سازی شده و پهنه‌های دگرسانی، از آنها نمونه‌برداری شد. سپس ۳۰ نمونه از این رگه‌ها و پهنه‌های دگرسانی به روش جذب اتمی (AAS) در آزمایشگاه سازمان زمین‌شناسی و اکتشافات معدنی کشور مورد تجزیه قرار گرفتند (جدول ۱). بررسی میزان همبستگی طلا و سایر عناصر کانه‌ساز

جدول ۱ نتایج تجزیه نمونه‌های برداشت شده از رگه‌های سیلیسی و پهنه‌های دگرسانی اطراف آنها به روش AAS

نمونه		Au ppm	Ag ppm	Cu ppm	Mo ppm	Pb ppm	Zn ppm	Sb ppm	Hg ppm	As ppm
رگه سیلیسی	1-H	۵	۵	۳۹۸	۱۲	۱۶۰۰	۳۴۰۰	۱۹	<.۱	۳۲
آرژیلی	2-H	۰.۰۱۲	۵	۴۴	۸	۹۵	۹۶	۲۴	۰.۱	۹۲
پروپیلیتی	3-H	۰.۰۱۴	۲	۴۱	۱۲	۱۷۰	۱۳۰	۱۷	۰.۳	۵۲
رگه سیلیسی	4-H	۰.۴	۱۱	۳۹۰۰	۲	۱۶۴۰۰	۲۵۳۰۰	۵۱	<.۱	۲۲
آرژیلی	5-H	۰.۰۱۰	۴	۹۰۵	۲	۴۵۰۰	۱۴۳۰۰	۲۳	<.۱	۱۴
پروپیلیتی	6-H	۰.۰۰۳	۶	۱۸۰۰	۲	۹۹۰۰	۲۲۸۰۰	۱۹	<.۱	۴
رگه سیلیسی	7-H	۰.۶۳۰	۲	۲۷۷	۱۶	۳۴۰۰	۸۶۰	۲۵	۰.۱	۲۰
آرژیلی	8-H	۰.۰۱۰	۱.۴	۶۴	۴	۳۴۴	۶۷۰۰	۱۷	۰.۱	۱۲
پروپیلیتی	9-H	۰.۰۱۵	۱.۲	۳۶	۴	۱۰.۵	۲۱۰۰	۲۰	۰.۲	۳۰
رگه سیلیسی	10-H	۰.۵۴	۱.۲	۶۲	۲	۱۳۸	۲۲۰	۲۰	۰.۴	۲۴
آرژیلی	11-H	۰.۰۰۸	۲	۴۱	۲	۸۲	۲۳۵	۲۷	۰.۳	۵۲
پروپیلیتی	12-H	۰.۰۰۹	۲	۱۴	۲	۳۵۹	۳۹۵	۲۵	۰.۴	۲۸
رگه سیلیسی	13-H	۱.۵	۳	۸۰	۸	۸۸	۲۶۹	۱۹	<.۱	۷۶
آرژیلی	14-H	۰.۲۵	۱.۴	۱۰	۱۶	۲۸	۲۸	۷.۳	<.۱	۱۹
پروپیلیتی	15-H	۰.۳۳	۷	۱۷	۷۶	۵۷	۵۸	۱۷	<.۱	۳۴
رگه سیلیسی	16-H	۱.۵	۴	۲۹۳	۱۲	۴۰۰	۱۰۰۰	۳۴	<.۱	۴۰
آرژیلی - سیلیسی	17-H	۰.۸	۶	۹۱۷	۱۲	۷۴۰۰	۲۹۰۰	۲۵	<.۱	۲۹
پروپیلیتی	18-H	۰.۳۵	۶	۶۹۱	۸	۳۹۰۰	۱۵۰۰	۴۱	۰.۱	۲۰
رگه سیلیسی	19-H	۱.۳	۲	۹۵	۱۲	۵۳۰	۷۶۱	۵.۵	۰.۱	۶۰
آرژیلی - سیلیسی	20-H	۰.۳۲	۰.۵	۲۹	۴	۱۳۰	۳۰۲	۱۱	۰.۱	۳۵
پروپیلیتی	21-H	۰.۲۳	۱.۲	۳۶	۸	۵۲۲	۲۷۴	۵.۵	۰.۱	۶۸
رگه سیلیسی	22-H	۰.۷۵	۶	۲۱۰۰	۴	۸۵۰۰	۴۵۰۰۰	۲۴	۰.۲	۲۰
آرژیلی	23-H	۰.۲۸	۱۱	۳۸۰۰	۴	۳۵۸۰۰	۱۴۱۰۰	۲۸	۰.۲	۱۲
پروپیلیتی	24-H	۰.۰۰۹	۶	۱۲۰۰	۲	۹۸۰۰	۴۳۰۰	۲۳	۰.۲	۲۲
رگه سیلیسی	25-H	۰.۴۲	۰.۵	۸	۸	۵۳۴	۳۲۸	۱۱	۰.۱	۴
آرژیلی	26-H	۰.۰۵۲	۰.۵	۷	۲۴	۱۰۶	۱۸۰	۱۲	۰.۱	۷
پروپیلیتی	27-H	۰.۰۰۷	۰.۵	۷	۲۴	۱۱	۱۰۹	۱۴	۰.۱	۱۰
رگه سیلیسی	28-H	۰.۹	۰.۵	۷۵	۲	۳۶	۴۹	۱۰۱	۰.۲	۲۸
آرژیلی	29-H	۰.۰۳۶	۱.۸	۱۷۰۰	۴	۱۶۳	۳۵۵	۲۴	۰.۱	۶۴
پروپیلیتی	30-H	۰.۱	۰.۵	۱۸۶	۸	۱۱۰۰	۹۹	۱۵	۰.۱	۳۶

جدول ۲ نتایج تجزیه نمونه‌های سالم آندزیتی (Ande)، پهنه‌های دگرسانی پروپیلیتی (Pro)، آرژیلی (Arg) و سیلیسی (Si) به روش XRF

نمونه	Ande 1	Ande 2	Ande 3	Ande 4	Pro 1	Pro 2	Pro 3	Pro 4	Arg 1	Arg 2	Arg 3	Arg 4	Si 1	Si 2	Si 3	Si 4
SiO ₂ %	52,9	56,5	53,44	55,96	52,4	52,3	52,7	52	35,4	49,7	43,6	41,5	62,7	67,1	64,5	65,3
Al ₂ O ₃ %	21,8	19	19,7	21,1	17,9	18,5	18,15	18,25	36,8	29,5	34,1	32,2	20	23,3	22,8	20,5
Fe ₂ O _{3T} %	5,51	4,91	4,96	5,46	7,85	8,9	8,25	8,5	37,5	26,4	32,6	31,3	7,18	5,14	5,73	6,59
TiO ₂ %	0,631	0,596	0,615	0,612	0,875	0,918	0,885	0,908	0,97	1,19	1,26	0,9	0,512	0,72	0,55	0,682
CaO %	8,17	7,81	7,95	8,03	7,92	6,21	6,76	7,37	1,21	1,674	1,52	1,364	0,316	0,69	0,46	0,546
MgO %	4,38	4,95	4,47	4,86	6,14	5,78	5,8	6,12	8,49	6,24	7,55	7,18	1,2	1,54	1,27	1,47
Na ₂ O %	2,52	3,1	2,76	2,86	2,45	2,98	2,62	2,81	1,07	1,82	1,53	1,36	0,529	1,51	1,2	0,439
K ₂ O %	2,88	2,48	2,67	2,69	2,13	2,33	2,26	2,2	1,1	1,38	1,26	1,22	2,42	0,978	1,48	1,916
MnO %	0,126	0,144	0,1327	0,1327	0,162	0,206	0,183	0,185	0,144	0,28	0,085	0,097	0,00805	0,000228	0,000561	0,000572
P ₂ O ₅ %	0,205	0,206	0,207	0,204	0,373	0,346	0,355	0,364	0,586	0,176	0,358	0,404	0,197	0,101	0,153	0,145
SO ₃ %	0,668	0,748	0,26	0,4828	0,451	0,173	0,349	0,275	9,84	5,22	7,46	7,6	1,65	1,7	1,67	1,68
BaO ppm	479	942	736	685	853	63	734	749	623	153	408	368	1050	710	916	844
CoO ppm	119	112	116	115	181	168	173	176	86,4	19,1	36,6	68,9	168	826	146,5	140,1
CuO ppm	936	110	105	98,6	120	287	276	231	513	73,2	316	270,2	175	150	161	164
Ga ₂ O ₃ ppm	25,3	24,8	24,9	25,2	28,1	32,7	29,7	31,1	32,9	21,5	25,2	29,2	20,5	26,5	22,4	24,6
PbO ppm	27,7	42,5	29,62	40,58	22,7	31,8	26,8	27,7	137	54	87	104	156	95	116	135
Rb ₂ O ppm	72,1	51,4	66,2	57,3	59	62,4	60,3	61,1	20,6	17,2	18,6	19,2	45,9	17,9	30,1	33,7
SrO ppm	343	599	487	455	573	469	511	531	178	132	156	154	490	114	269	335
Y ₂ O ₃ ppm	36,3	35,5	35,1	36,7	41,5	48	43,7	45,8	41	21	33	29	17,9	15,6	15,8	17,7
ZnO ppm	98,8	83,6	91,4	91	119	172	152	139	175	170	182	163	360	176	248	288
ZrO ₂ ppm	158	120	149	129	148	166	155	159	217	169	187	199	106	145	126	125

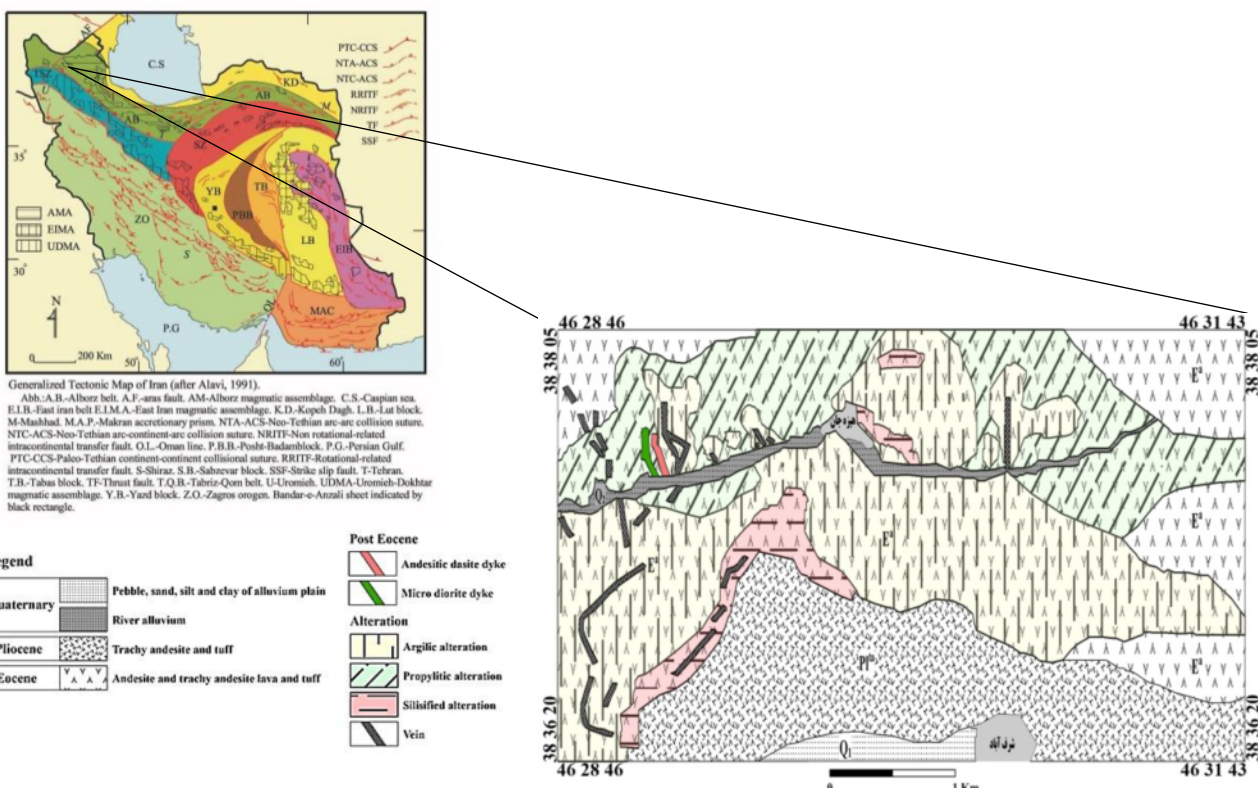
جدول ۳ نتایج بررسی نمونه‌های برداشت شده از پهنه‌های دگرسانی آرژیلی (Arg)، پروپیلیتی (Pro) و سیلیسی (Si) به روش XRD

نمونه	توضیح
Arg-1	کائولینیت+مونت موریلونیت+فلدسبار+کوارتز+کلریت+ژیپس+گیبسیت+شبه مالاکیت
Arg-2	کائولینیت+مونت موریلونیت+فلدسبار+کوارتز+مسکویت+کلینو کلر+هماتیت
Pro-1	کوارتز+فلدسبار (آبیت)+کلریت+کلسیت+کائولینیت
Pro-2	کوارتز+فلدسبار+کلریت+اپیدوت+کلسیت+پیریت
Si-1	کوارتز+فلدسبار+کائولینیت+گوتیت
Si-2	کوارتز+کائولینیت+مونت موریلونیت+مسکویت

قطع نموند سنگ‌های آتشفشاری ائوسن و عدم قطع سنگ‌های آتشفشاری پلیوسن دارای سنی در حدود الیگو میوسن بوده و احتمالاً ظاهری از یک توده نیمه آتشفشاری هستند که توانسته‌اند در عمق چند کیلومتری سطح زمین جایگیری نمایند. جوان‌ترین واحد نیز شامل رسوبات آبرفتی کواترنر واقع در بستر رودخانه هیزه جان است.

نقشه زمین شناسی - دگرسانی و موقعیت منطقه مورد مطالعه، بر اساس تقسیم‌بندی پهنه‌های ساختاری ایران [۱] در شکل ۱ آورده شده است.

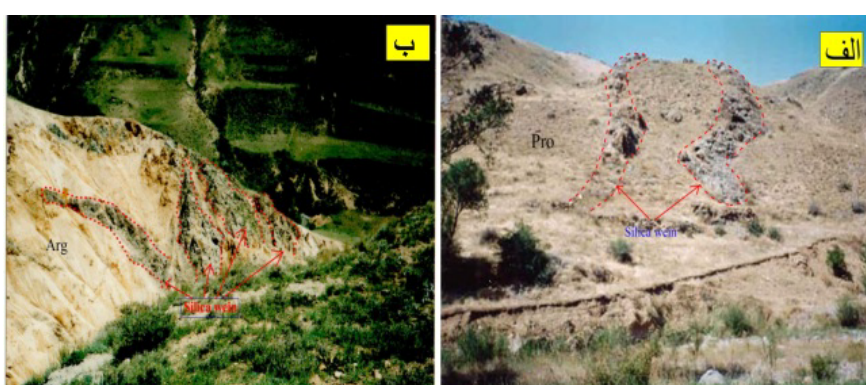
زمین شناسی منطقه مورد بررسی
قدیمی‌ترین واحد در این گستره، سنگ‌های آذرآواری و گدازه-ای ائوسن با ترکیب غالب آندزیت بوده [۱۶] که این واحد وسیع‌ترین و حجمی‌ترین سنگ‌های بروونز یافته شده در این منطقه است. واحد جوانتر، سنگ‌های آذرآواری و گدازه‌ای پلیوسن با ترکیب غالب تراکی آندزیتی و بصورت سنگ‌های آذرآواری (توف و پومیس) و گدازه‌ای هستند [۱۶]. علاوه بر واحدهای اشاره شده، دایک‌هایی با ترکیب ریزدیوریتی و داسیت آندزیتی در غرب منطقه دیده می‌شوند که با توجه به



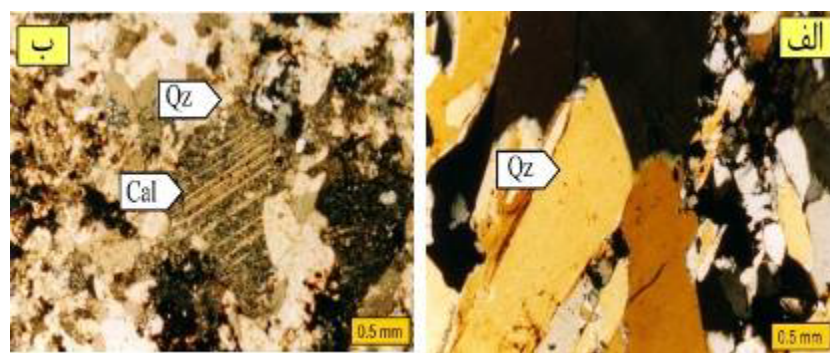
شکل ۱ نقشه زمین‌شناسی - دگرسانی برگرفته از مراجع [۱۵-۱۸] با اندکی تغییرات که منطقه مورد بررسی بر اساس تقسیم بندی مرجع [۱] در پهنه البرز- آذربایجان (AB) و زیر پهنه مجموعه ماقمایی البرز (AMA) قرار دارد. رگه‌ها صرفاً جهت نمایش در نقشه آورده شده است.

کانه‌های تشکیل دهنده آنها شامل پیریت، کالکوپیریت، گالن، اسفالریت، کولیت، تتراهریت، روتیل، کلینوکلاز، مالاکیت و هیدروکسیدهای ثانویه آهن هستند (شکل ۴). بافت برشی بافت غالب تشکیل دهنده رگه‌ها است و بافت‌های قشر گونه (Crustification)، کاکلی، شانه‌ای و رورشده (Overgrowth) نیز دیده می‌شوند (شکل ۵) که همگی نشانده‌نده کانه‌زایی در محیط‌های با فشار پایین هستند [۱۷].

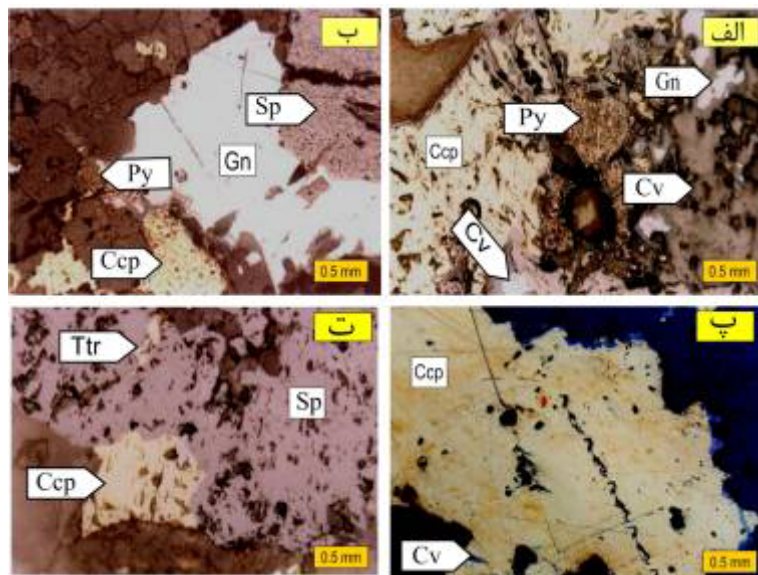
کانه‌زایی
کانه‌زایی در این منطقه بصورت رگه - رگچه‌های سیلیسی و سیلیسی - کربناتی است که توسط شکستگی‌ها و پهنه‌های گسلی کنترل می‌شود (شکل ۲) که این رگه‌ها اغلب دارای روند راستای غالب NE - NW - SW و گاهی ۵۰ تا ۷۵ درجه در سمت شمال. کانی‌های تشکیل دهنده این رگه‌ها شامل کوارتز، اپال و بمقدار کمتری کلسیت (شکل ۳) بوده و



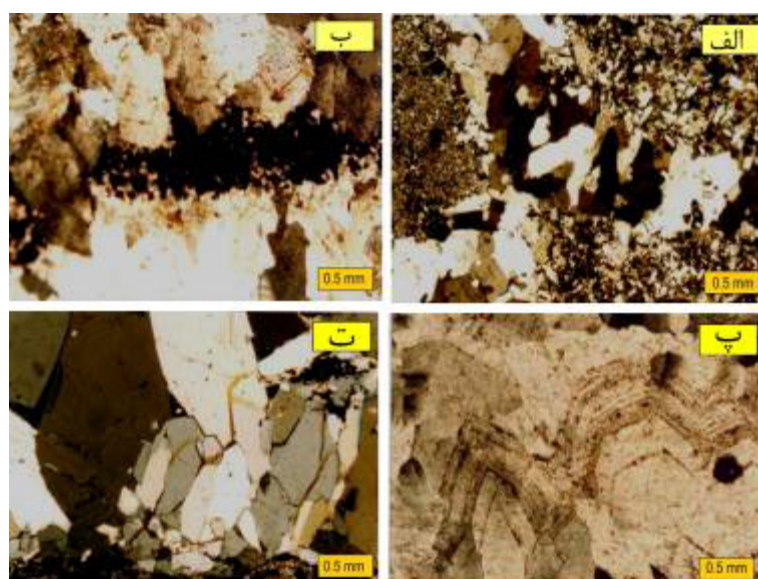
شکل ۲ الف رگه‌های سیلیسی و ب - رگه‌های سیلیسی کربناتی کانی سازی شده که توسط شکستگی و پهنه‌های گسلش کنترل می‌شوند. دید به سمت شمال.



شکل ۳ کوارتز (Qz) و کلسیت (Cal) کانی‌های اصلی و عمدۀ تشکیل‌دهنده رگه‌ها هستند. (نور (XPL) علائم کانی‌ها بر اساس مرجع [۱۹].



شکل ۴ الف و ب- پیریت دگرسان، کالکوپیریت، اسفالریت و گالن در حال جایگزینی از کناره با کوولیت. پ- کالکوپیریت در حال جایگزینی با کوولیت. ت- اسفالریت، کالکوپیریت و تترائدریت. (نور (PPL). Py: پیریت، Ccp: کالکوپیریت، Cv: گالن، Sp: کوولیت، Gn: اسفالریت، Ttr: تترائدریت. علایم کانی‌ها بر اساس مرجع [۱۹].



شکل ۵ الف- کوارتز با بافت کاکلی؛ ب- کوارتز با بافت قشری؛ پ- کوارتز با بافت رورشده و ت- کوارتز با بافت شانه‌ای. (نور (XPL)

در رگه‌های سیلیسی، حضور گانگ کربناتی در رگه‌های کانی-سازی شده و تمرکز رگه‌های سیلیسی در نزدیکی دایک‌های ریزدیوریتی و داسیت آندزیتی، کانه‌زایی این منطقه از نوع IS است [۱۸].

بررسی آماری دو متغیره عنصر در رگه‌های سیلیسی و دگرسانی اطراف آنها برای داشتن معیاری از همبستگی بین دو متغیر، مستقل از یکای اندازه‌گیری داده‌ها، یک پارامتر آماری به نام ضریب همبستگی (γ) تعریف می‌شود. برای محاسبه ضریب همبستگی دو روش کلی بنام‌های پیرسون و اسپیرمن وجود دارند. در این پژوهش از روش محاسباتی اسپیرمن که به بهنجار و نابهنجار بودن توزیع داده‌ها حساس نیست، استفاده شد و نتیجه آن در جدول ۴ آورده شده است. یکی از کاربردهای محاسبه ضریب همبستگی می‌تواند بررسی ارتباط زیشی بین دو متغیر طی مراحل مختلف کانی‌سازی باشد. چرا که بالا بودن مقدار آن می‌تواند نشان‌دهنده شرکت دو متغیر مورد نظر در یک فاز کانه‌زایی و حتی انتقال این عناصر توسط کمپلکس‌های مشابه حمل کننده فلزات در محلول‌های گرمابی باشد. یکی از این رتبه بندی‌های متداول برای توصیف شدت همبستگی بین دو متغیر که در این پژوهش نیز از آن استفاده شده است، بصورت زیر است:

(۱) $r < 0.2$: همبستگی بسیار ضعیف و ناجیز، (۲) $0.2 < r < 0.4$: همبستگی ضعیف، (۳) $0.4 < r < 0.6$: همبستگی متوسط، (۴) $0.6 < r < 0.8$: همبستگی قوی و (۵) $r > 0.8$: همبستگی بسیار قوی.

بر اساس داده‌های جدول ۴، عنصر مس با عنصر نقره، سرب، روی و آنتیموان دارای همبستگی قوی و با عنصر مولیبدن دارای همبستگی ضعیف منفی و عنصر طلا با عنصر مس، مولیبدن و آرسنیک دارای ضریب همبستگی مثبت ضعیف است. این ضرایب نشان‌دهنده همبزایی عنصری مس-سرب-روی و آنتیموان با هم است و بنظر می‌رسد که عنصر طلا طی یک فاز کانه‌زایی مجزا تشکیل شده باشد. بررسی میانبارهای سیال در کوارتز خاکستری مرتبط با فاز اصلی کانه‌زایی، نشان‌دهنده گستره دمایی $170-270$ درجه سانتی گراد و شوری $1-8$ درصد وزنی معادل NaCl و میانبارهای موجود در اسفالریت، معرف دمای همگن‌شدگی 215 تا 265 درجه سانتی گراد و شوری 10.8 تا 15.3 درصد وزنی معادل NaCl هستند که نشان‌گر دمای تشکیل زیر 350 درجه سانتی گراد و شوری متوسط سیال گرمابی است [۲۲].

نوع کانه‌زایی

نتایج تجزیه‌های شیمیایی انجام یافته بر رگه‌های کوارتزی، نوع و سن سنگ‌های دربرگیرنده این رگه‌ها، نشان‌دهنده کانه‌زایی فراگرمایی فلزات گرانیها در این منطقه است. کانسارهای سولفیداسون پایین (LS)، سولفیداسیون حد واسط (IS) و سولفیداسیون بالا (HS) تقسیم می‌شوند [۲۰]. کانسارهای دارای $10-90\%$ محتوای سولفیدی، IS $20-5\%$ و LS $10-2\%$ در موقعی که دارای سنگ میزبان بازالتی است دارای محتوای بیشینه 20% است [۲۱]. کانه‌های کلیدی سولفیدی در نهشته‌های HS انارژیت، لوزونیت، فاماتینیت و کولیت، در نهشته‌های IS اسفالریت، گالن، تنانتیت، تترائدریت و کالکوپیریت و در نهشته‌های LS شامل مقادیر جزئی و بسیار جزئی آرسنوبیریت و پیروتین بهمراه مقادیر جزئی اسفالریت، گالن، تنانتیت، تترائدریت و کالکوپیریت هستند [۲۱]. کانه‌های اصلی گانگ در نهشته‌های LS و IS کلسدنونی و کوارتزهای دارای بافت قشرگونه، کلوفرم و شاههای بهمراه کربنات و در نهشته‌های HS شامل سیلیس توده‌ای و ریز دانه و کوارتز حجرهای هستند که فاقد کربنات است [۲۱]. پورونیک بر اساس نوع کانه‌های سولفیدی، بافت رگه‌های سیلیسی، نوع کانه‌های ساختاری رگه‌ها توسط پهنه‌های در پهنه آرژیلی و کنترل ساختاری رگه‌ها توسعه کانه‌زایی رخ داده در منطقه را از نوع LS معرفی می‌کند [۱۵]. ابراهیمی بر اساس بررسی میانبارهای سیال، زرفای 400 متری زیر سطح ایستابی دیرینه را برای شکل‌گیری این کانسار محاسبه کرد و بر پایه چیرگی دگرسانی آرژیلی حد واسط، همراهی طلا با کانه‌های سولفیدی فلزات پایه و شوری متوسط میانبارهای سیال [۲۲] و بر پایه بررسی‌های ایزوتوبی گوگرد که دارای مقدار 8^{34}S برابر با 1.7 تا 6.9 هزار است [۲۲]، کانه‌زایی را از نوع IS معرفی می‌کند. جمالی نیز کانه‌زایی رخ داده در منطقه هیزه جان را از نوع IS معرفی می‌کند [۲۴]. مقصودی با توجه به همبزایی کانه‌ها، نوع کانه‌زایی را از نوع HS می‌داند [۲۵]. عابدینی با توجه به حضور LREE‌ها نسبت به پیروفیلیت، آلونیت و دیاسپور و غنی‌شدگی HREE‌ها در ذخیره کائولن هیزه‌جان نتیجه گرفت که آندزیت‌ها طی تشکیل ذخیره کائولن، دگرسانی در حد آرژیلی پیشرفت‌های را در نتیجه عملکرد فرآیندهای درون‌زاد تجربه کرده‌اند [۲۶]. با توجه به نوع کانه‌های سولفیدی، بافت رگه‌های سیلیسی، تشکیل پهنه آرژیلی حد واسط، کنترل ساختاری رگه‌ها توسط پهنه‌های برشی و گسلی، نوع سنگ‌های در برگیرنده، مقدار حجمی 10 تا 15 درصدی کانه‌های سولفیدی

جدول ۴ ضریب همبستگی عناصر بر اساس روش اسپیرمن.

	Au	Ag	Cu	Mo	Pb	Zn	Sb	Hg	As
Au	1	-0,1124	-0,2199	-0,3013	-0,0936	-0,0313	-0,1586	-0,3001	-0,2186
	-0,1124	1	-0,2428	-0,1055	-0,6224	-0,8692	-0,4024	-0,1070	-0,2457
Ag	-0,5541	1	-0,6824	-0,1113	-0,5701	-0,5643	-0,5410	-0,2878	-0,0030
	-0,5541	-0,1124	1	-0,0003	-0,5580	-0,0010	-0,0011	-0,0020	-0,1229
Cu	-0,2199	-0,6824	1	-0,3867	-0,7279	-0,7125	-0,6096	-0,1400	-0,0220
	-0,2428	-0,0003	-0,3867	1	-0,0347	-0,0005	-0,0009	-0,0003	-0,4603
Mo	-0,3013	-0,1113	-0,3867	1	-0,2423	-0,3978	-0,4416	-0,4058	-0,07281
	-0,1055	-0,5580	-0,0347	-0,1968	-0,0294	-0,0145	-0,0260	-0,7021	
Pb	-0,0936	-0,5701	-0,7279	-0,2423	1	-0,8981	-0,3544	-0,1234	-0,3409
	-0,6224	-0,0010	-0,0005	-0,1968	-0,0001	-0,0546	-0,4821	-0,0652	
Zn	-0,0313	-0,5643	-0,7125	-0,3978	-0,8981	1	-0,3740	-0,1262	-0,3249
	-0,8692	-0,0011	-0,0009	-0,0294	-0,0001	-0,0417	-0,4729	-0,0797	
Sb	-0,1586	-0,5410	-0,6096	-0,4416	-0,3544	-0,3740	1	-0,1839	-0,0906
	-0,4024	-0,0020	-0,0003	-0,0145	-0,0546	-0,0417	-0,3304	-0,6338	
Hg	-0,3001	-0,2878	-0,1400	-0,4058	-0,1334	-0,1232	-0,1839	1	-0,0884
	-0,1070	-0,1229	-0,4603	-0,0260	-0,0421	-0,4729	-0,3304	-0,6422	
As	-0,2186	-0,0030	-0,0220	-0,07281	-0,0349	-0,3249	-0,0906	-0,0884	1
	-0,2457	-0,9873	-0,9079	-0,7021	-0,0652	-0,0797	-0,6338	-0,6422	

که به رنگ سبز روشن تا تیره در بخش گستردگی از سنگ‌های شمال و غرب گستره مورد بررسی دیده می‌شود (شکل ۶) و بر پایه نتایج بررسی‌های میکروسکوپی و XRD در برگیرنده کانی‌های کلریت، اپیدوت، کلسیت، سریسیت، آلبیت، کانی‌های رسی نظری کائولینیت و پیریت است. دیگر دگرسانی موجود در این منطقه، دگرسانی آرژیلی بوده که با رنگ سفید تا زرد آجری مشخص است و بر پایه نتایج بررسی‌های میکروسکوپی و XRD کانی‌های کائولینیت، مونت موریلوبنیت، اپال، کلریت، ریپس، آلونیت، جاروسیت، گیبسیت، پیریت و اکسید و هیدروکسیدهای آهن کانی‌های تشکیل‌دهنده این دگرسانی هستند. بنظر می‌رسد که این نوع دگرسانی طی دو فرآیند جداگانه تشکیل شده است: (الف) بصورت اولیه یا درونزاد در کناره رگه‌ها (ب) بصورت ثانویه یا برونزاد، در قسمت‌هایی که سولفیدها به‌ویژه پیریت حضور دارد و اکسایش آنها موجب تشکیل H_2SO_4 در نتیجه ایجاد محلول اسیدی شده و لذا این نوع دگرسانی بوجود آمده و یا دگرسانی آرژیلی اولیه تشدید شده است (شکل ۷). نوع کانی‌های موجود در دگرسانی آرژیلی، در تعیین حدواتسط یا پیشرفت‌های بودن این دگرسانی و نوع کانه‌زایی احتمالی همراه با آن، از اهمیت بالایی برخوردار است. حضور کانی‌های همچون پیروفیلیت، دیاسپور، آندالوزیت و آلونیت می‌تواند از شواهد کانی‌ای دگرسانی آرژیلی پیشرفت‌ه

از این رو با توجه به اهمیت انتقال عنصر نقره بیشتر توسط کمپلکس‌های کلریدی و انتقال عناصر مس، سرب و روی در محلول‌های گرمابی دارای شوری متوسط و بالا توسط کمپلکس‌های کلریدی و اهمیت کمپلکس‌های بی‌سولفیدی طلا در دماهای کمتر از ۳۵ درجه سانتی‌گراد [۲۷]، این امر می‌تواند در عدم وجود همبستگی قوی طلا با عناصر نامبرده مهم و تاثیرگذار باشد.

دگرسانی

دگرسانی نتیجه کنش و واکنش سیال‌های گرمابی با سنگ‌های مجاور بوده که با تغییرات کانی‌ای، شیمیایی، رنگ و بافت سنگ‌های دیواره همراه است. این فعالیت تا زمان رسیدن به تعادل ادامه می‌یابد و نتیجه این واکنش بوجود آمدن غشایی دگرسان در سنگ‌های دربرگیرنده توده معدنی است [۱۷]. بررسی‌های انجام یافته نشان می‌دهد که تغییرات کانی‌شناسی بیشتر شامل سوسوریتی شدن و سریسیتی شدن پلاژیوکلاز و فلدسپار پتاسیم، کلریتی شدن بیوتیت و هماتیتی شدن مگنتیت است. بیشترین تغییرات زمین شیمیایی نیز مربوط به افزایش پتاسیم و کاهش کلسیم در سنگ‌های ماگمایی است [۲۸]. دگرسانی در منطقه هیزه جان منحصر به اطراف و کناره‌های رگه‌ها نبوده و دارای گسترش نسبتاً زیادی است. گستردگی دگرسانی در منطقه هیزه جان شامل دگرسانی پروپیلیتی است

کانه‌زایی سولفیداسیون بالا نبوده، بلکه با سیستم‌های فراگرمایی IS و LS در ارتباط است. دگرسانی سیلیسی بصورت رگچه و پر کننده حفره‌ها در کناره رگه‌ها، بصورت کلاهک سیلیسی در شمال روستای هیزه جان و بصورت پهنه جaspروئیدی (کوارتزهای بسیار ریز بهمراه اکسید آهن) در جنوب روستای هیزه جان دیده می‌شود (شکل ۸). در کناره رگه‌ها علاوه بر افزایش مقدار سیلیس بدليل حضور رگچه‌های سیلیسی، کلریتی‌شدن کانی‌های تیره چون آمفیبول، سبب آزاد شدن سیلیس از این کانی‌ها شده است. در کلاهک‌های سیلیسی نیز علاوه بر نفوذ رگچه‌های سیلیسی، افزایش مقدار سیلیس، بدليل اتحال مواد دیگر سنگ بوده و در نتیجه سبب ایجاد ریختار خشن نسبت به دگرسانی پایینی خود (آژیلی) شده است.

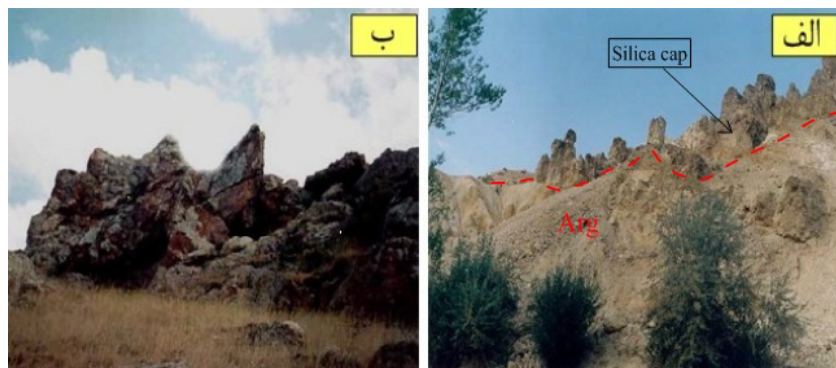
باشد [۱۷]. در دگرسانی آژیلی منطقه مورد بررسی کانی‌های دما بالا بجز کانی آلونیت حضور ندارند که بنظر می‌رسد که آلونیت بصورت پوششی بر پهنه آژیلی حدواسط حضور دارد و در ترازهای سطحی قابل مشاهده است. در مورد خاستگاه آلونیت باید گفت که این کانی می‌تواند بصورت حالت‌های درونزad (سیستم‌های فراگرمایی نوع سولفیداسیون بالا)، آب‌های گرم شده توسط بخار در ترازهای سطحی سیستم‌های فراگرمایی HS و همچنین برونزad تشکیل شده باشد [۲۰]. براساس همبرازی کانی‌ای همراه آلونیت (جاروسیت، گیبسیت، کائولینیت، مونت موریلونیت و رگچه‌های ژیپس) که نشانده‌نده دمای پایین تشکیل است و عدم همراهی کانی‌های دما بالای پیروفیلیت و آندالوزیت می‌توان گفت که این کانی توسط دگرسانی اسیدی ایجاد شده در اثر محلول‌های اسید – سولفات سطحی برونزad تشکیل شده است [۲۹] و از آن رو در ارتباط با



شکل ۶ الف-نمایی از دگرسانی پروپیلیتی و دگرسانی آژیلی شمال روستای هیزه جان. دید به سمت شمال ب-نمایی از رگه سیلیسی و دگرسانی آژیلی کناره آن که توسط دگرسانی پروپیلیتی احاطه شده است. دید به سمت شمال شرق.



شکل ۷ الف- دگرسانی آژیلی و کلاهک سیلیسی تشکیل شده در بالای پهنه دگرسانی آژیلی. دید به سمت شمال ب- دگرسانی آژیلی تشدید شده توسط فرآیندهای برونزad و ایجاد آبهای اسیدی آهن دار و کلاهک آهنی. دید به سمت شمال.



شکل ۸ الف- کلاهک سیلیسی در بخش بالایی پهنه آرژیلی که به دلیل افزایش سیلیس دارای ریختار خشن است. دید به سمت شمال غرب ب- رگهای ژاسپیروئیتدی که شامل سیلیس دانه‌ریز با آغشتگی اکسید آهن است. دید به سمت جنوب.

پایین انتخاب شد. در این روش برای محاسبه تغییرات جرم و تعیین مقدار و نوع عناصر تهی شده و غنی شده از فرمول زیر استفاده شد:

$$\Delta C_i / C_i^O = (C_{Al_2O_3}^O / C_{Al_2O_3}^A)(C_i^A / C_i^O) - 1 \quad (1)$$

C_i^A و C_i^O درصد وزنی اکسید یا عنصر به ترتیب در سنگ سالم و سنگ دگرسان، $C_{Al_2O_3}^A$ و $C_{Al_2O_3}^O$ درصد وزنی Al_2O_3 به ترتیب در سنگ سالم و سنگ دگرسان $\Delta C_i / C_i^O$ تغییرات جرم عنصر یا اکسید طی دگرسانی (افزودگی یا کاهیدگی) است.

تغییرات جرم محاسبه شده در جدول‌های ۵، ۶ و ۷ و ۹ تغییرات عناصر اصلی و فرعی بصورت ایزوکن در پهنه‌های دگرسانی در شکل‌های ۹ تا ۱۳ آورده شده است. در رسم نمودارهای ایزوکن بنظر می‌رسد که گستره تغییرات از صفر تا سی درصد مناسب باشد. عناصری که در این گستره قرار نمی‌گیرند را می‌توان در عدد ثابتی، ضرب یا تقسیم کرد تا در گستره قرار گیرند. البته گفتنی است که در صورت ضرب یا تقسیم یک عنصر در عدد ثابت، باید انحراف معیار آن عنصر نیز در آن عدد ضرب یا تقسیم شود. در نتیجه عناصری که روی خط شاخص بی تحرکی (خطی که مبدأ مختصات را به Al وصل می‌کند) قرار گیرد و یا انحراف معیار آنها خط را قطع کند، بعنوان عناصر بی تحرک در نظر گرفته می‌شوند که طی دگرسانی دچار تغییری نشده‌اند. عناصری که بالای این خط قرار می‌گیرند، عناصری هستند که طی دگرسانی به سیستم اضافه شده‌اند و عناصری که زیر خط شاخص بی تحرکی قرار می‌گیرند، عناصری هستند که طی دگرسانی از سیستم خارج شده‌اند.

زمین شیمی دگرسانی

یکی از زمینه‌های مطالعه دگرسانی‌ها، بررسی افزودگی و کاهیدگی هر یک از عناصر اصلی و کمیاب در هر پهنه دگرسانی است. اهمیت کاربردی افزودگی عناصر بر اثر ورود عناصر در این است که این نوع عناصر عموماً برای توده‌های کانساری نقش عناصر تیپو مورفیک را ایفا کرده و از این رو، معرف اکتشافی مهمی برای این توده‌ها بحساب می‌آیند [۳۰]. در مقابل، کاهیدگی عناصر می‌تواند به دلیل خروج این عناصر در مرحله تشکیل کانسار و یا طی فرآیندهای دگرسانی پس از کانی‌سازی بوده و در نتیجه ارزش کاربردی چندانی برای مقاصد اکتشافی نداشته باشند. برای بررسی‌های زمین شیمیایی دگرسانی از روش گرنت [۳۱] استفاده شد که نتایج به دست آمده، با مطالعات میکروسکوپی و XRD انجام گرفته همخوانی دارند. تلفیق این بررسی‌ها نشان می‌دهند که پهنه‌های دگرسانی پروپیلیتی، آرژیلی و سیلیسی در منطقه بخوبی گسترش یافته است، بطوریکه استفاده از این روش برای آشکار سازی مناطق دگرسانی و تفکیک آنها از هم و تعیین پهنه‌های کانی‌سازی شده و ارتباط آنها با نوع دگرسانی بسیار سودمند بوده است. برای نخستین بار گرسننس تغییرات جرم و غنی-شدگی را طی دگرسانی گرمابی محاسبه کرد [۳۱]. این روش بعدها توسط گرنت فرمول بندی شد. او با قرار دادن سنگ‌های دگرسان در مقابل سنگ‌های مادر سالم و رسم نمودارهای ایزوکن، تغییرات عناصر را طی دگرسانی تعیین کرد. برای تعیین تغییرات عناصر در سنگ‌های دگرسان نسبت به سنگ-های سالم، باید از عنصری استفاده کرد که تحرک پذیری پایین‌تری طی فرآیندهای دگرسانی داشته باشد، تا بتوان غنی‌شدگی و تهی‌شدگی سایر عناصر را نسبت به آن سنجید. به همین دلیل عنصر Al بعنوان عنصر شاخص با تحرک پذیری

جدول ۵ تغییرات جرم محاسبه شده به روش گرنت در پهنه پروپلیتی.

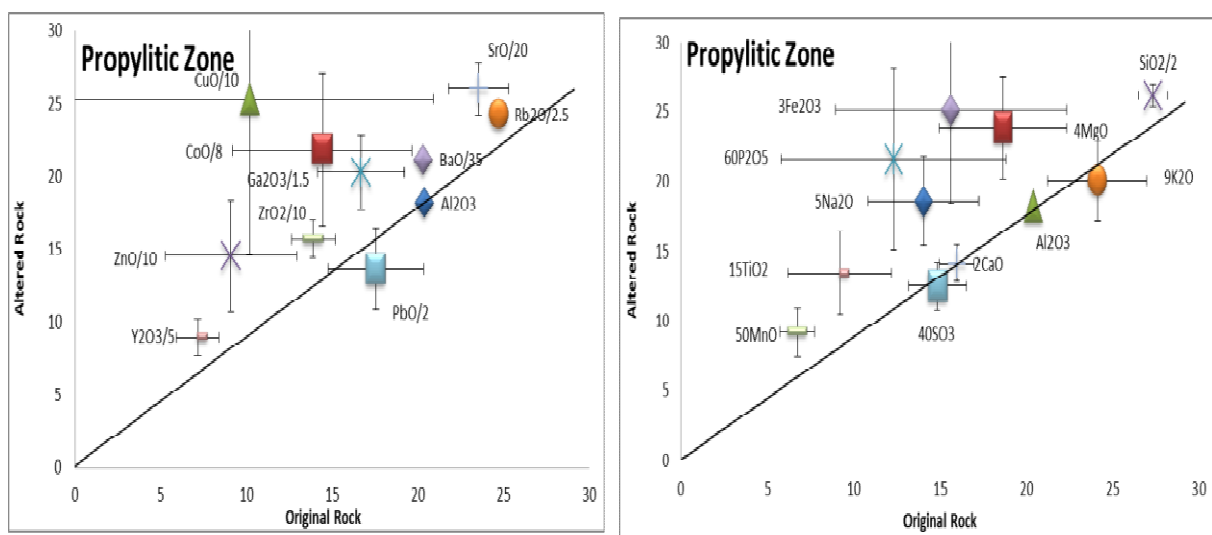
	متوسط اصلی	متوسط تغییر یافته	Ci^A/Ci^0	C^0_{Al2O3}/C^A_{Al2O3}	$(C^0_{Al2O3}/C^A_{Al2O3})(Ci^A/Ci^0)$	افزودگی یا کاهیدگی
Al_2O_3	۲۰,۴	۱۸,۲	۰,۸۹	۱,۱۲۱	۱	-
$5Na_2O$	۱۴,۰۵	۱۸,۵۷۵	۱,۳۲۲	۱,۱۲۱	۱,۴۸۲	+۰,۴۸۲
$4MgO$	۱۸,۶۶	۲۳,۸۴	۱,۳۷۷	۱,۱۲۱	۱,۴۳۱	+۰,۴۳۱
$SiO_2/2$	۲۷,۳۵	۲۶,۱۷۵	۰,۹۶	۱,۱۲۱	۱,۰۷۳	-۰,۰۷۳
$9K_2O$	۲۴,۱۲	۲۰,۰۷	۰,۸۳	۱,۱۲۱	۰,۹۳۲	-۰,۰۶۷
$15TiO_2$	۹,۲۰	۱۳,۴۴	۱,۴۶	۱,۱۲۱	۱,۶۴	+۰,۶۴
$50MnO$	۶,۷۵	۹,۲	۱,۳۶۳	۱,۱۲۱	۱,۵۳	+۰,۵۳
$2CaO$	۱۵,۹۸	۱۴,۱۳	۰,۸۸	۱,۱۲۱	۰,۹۹۱	-۰,۰۰۹
$60P_2O_5$	۱۲,۳۳	۲۱,۵۷	۱,۷۵	۱,۱۲۱	۱,۹۶	+۰,۹۶
$3Fe_2O_3$	۱۵,۶۳	۲۵,۱۲۵	۱,۶۱	۱,۱۲۱	۱,۸۰۲	+۰,۸۰۲
$Ga_2O_3/1.5$	۱۶,۷	۲۰,۲۶۷	۱,۲۱۳	۱,۱۲۱	۱,۳۶	+۰,۳۶
$ZrO_2/10$	۱۳,۹	۱۵,۷	۱,۱۳	۱,۱۲۱	۱,۲۶۶	+۰,۲۶۶
$ZnO/10$	۹,۱۲	۱۴,۵۵	۱,۵۹	۱,۱۲۱	۱,۷۹	+۰,۷۹
$Rb_2O/2.5$	۲۴,۷	۲۴,۲۸	۰,۹۸۳	۱,۱۲۱	۱,۱۰۲	+۰,۱۰۲
$SrO/20$	۲۳,۵۵	۲۶,۰۵	۱,۱۰۶	۱,۱۲۱	۱,۲۴	+۰,۲۴
$Y_2O_3/5$	۷,۱۸	۸,۹۵	۱,۲۵	۱,۱۲۱	۱,۳۴	+۰,۳۴
$PbO/2$	۱۷,۵۵	۱۳,۶۲۵	۰,۷۷۶	۱,۱۲۱	۰,۸۷	-۰,۱۳
$BaO/35$	۲۰,۳	۲۱,۱۸۶	۱,۰۴۴	۱,۱۲۱	۱,۱۷	+۰,۱۷
$CoO/8$	۱۴,۴۴	۲۱,۸۱	۱,۵۱۱	۱,۱۲۱	۱,۶۹۳	+۰,۶۹۳
$CuO/10$	۱۰,۱۸	۲۵,۳۵	۲,۵	۱,۱۲۱	۲,۷۹۱	+۰,۷۹۱
$40SO_3$	۱۴,۸۵۶	۱۲,۴۸	۰,۸۴	۱,۱۲۱	۰,۹۴۱	-۰,۰۵۹
Total					۸,۴۶	

جدول ۶ تغییرات جرم محاسبه شده به روش گرنت در پهنه آرژیلی.

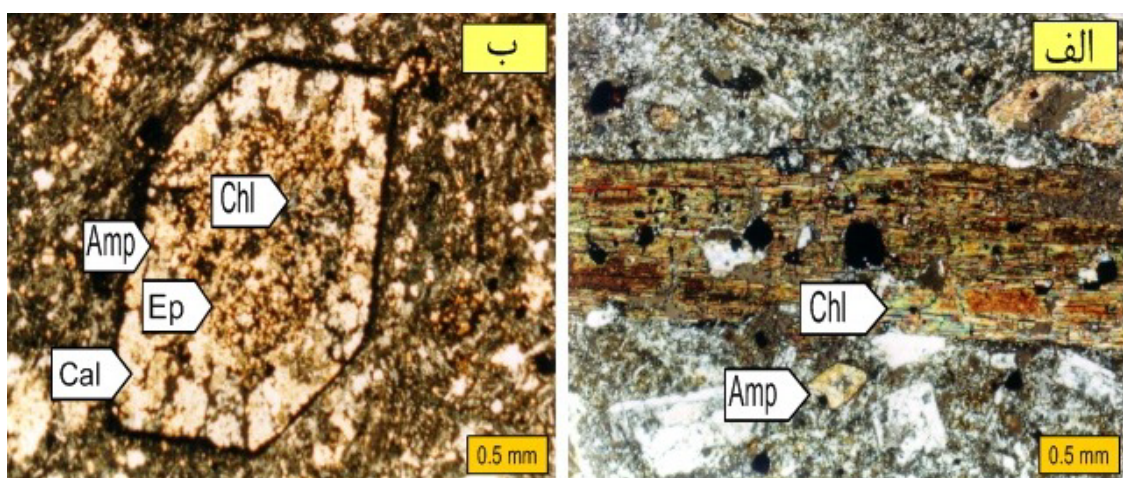
	متوسط تغییر یافته	متوسط اصلی	Ci^A/Ci^0	C^0_{Al2O3}/C^A_{Al2O3}	$(C^0_{Al2O3}/C^A_{Al2O3})(Ci^A/Ci^0)$	افزودگی یا کاهیدگی
$Al_2O_3/1.2$	۱۷	۲۷,۶۲۵	۱,۶۲۵	۰,۶۱۵	۱	-
$7Na_2O$	۱۹,۶۷	۱۰,۱۱۵	۰,۵۱۴۵	۰,۶۱۵	۰,۳۱۶	-۰,۶۸۴
$2MgO$	۹,۳۳	۱۴,۷۳	۱,۵۸	۰,۶۱۵	۰,۹۷۱۵	-۰,۰۲۸۵
$SiO_2/2$	۲۷,۳۵	۲۱,۲۷۵	۰,۷۷۸	۰,۶۱۵	۰,۴۸	-۰,۰۵۲
$10K_2O$	۲۶,۸	۱۲,۴	۰,۴۶۳	۰,۶۱۵	۰,۲۸۵	-۰,۷۱۵
$8TiO_2$	۴,۹۰۸	۸,۶۴	۱,۷۶	۰,۶۱۵	۱,۰۸۳۳	+۰,۰۸۳۳
$35MnO$	۴,۷۲۵	۳,۱۸۵	۰,۷۷۴	۰,۶۱۵	۰,۴۲	-۰,۰۵۸
$2CaO$	۱۵,۹۸	۲,۸۸۴	۰,۱۸	۰,۶۱۵	۰,۱۱۱	-۰,۸۸۹
$55P_2O_5$	۱۱,۳۰۲	۲۰,۹۵۵	۱,۸۵۴	۰,۶۱۵	۱,۱۴۱	+۰,۱۴۱
$2Fe_2O_3$	۱۰,۴۲	۶,۳۹	۰,۶۱۳	۰,۶۱۵	۰,۳۸	-۰,۰۶۲
Ga_2O_3	۲۵,۰۵	۲۷,۲	۱,۰۸۶	۰,۶۱۵	۰,۶۷	-۰,۰۳۳
$ZrO_2/12$	۱۱,۵۸	۱۶,۱	۱,۳۹	۰,۶۱۵	۰,۸۵	-۰,۱۵
$ZnO/10$	۹,۱۲	۱۷,۲۵	۱,۹	۰,۶۱۵	۱,۱۶۴	+۰,۱۶۴
$Rb_2O/3$	۲۰,۰۸	۸,۳	۰,۳۱	۰,۶۱۵	۰,۱۸۸	-۰,۸۱۲
$SrO/30$	۱۵,۷	۵,۱۷	۰,۳۳	۰,۶۱۵	۰,۲۰	-۰,۸۰
$Y_2O_3/1.8$	۱۹,۹۴	۱۷,۲۲	۰,۸۶۳	۰,۶۱۵	۰,۰۳	-۰,۰۴۷
$PbO/5$	۷,۰۲	۱۹,۱	۲,۷۲۱	۰,۶۱۵	۱,۶۷۴	+۰,۶۷۴
$BaO/30$	۲۲,۶۹	۱۲,۹۳	۰,۵۴۶	۰,۶۱۵	۰,۳۳۶	-۰,۶۶۴
$CoO/6$	۱۹,۲۵	۸,۷۹	۰,۴۵۷	۰,۶۱۵	۰,۲۸	-۰,۰۷۲
$CuO/20$	۵,۰۹	۱۴,۶۵۵	۲,۸۸	۰,۶۱۵	۱,۷۸	+۰,۷۸
$2.5SO_3$	۰,۹۲۸۵	۱۸,۸۲۵	۲۰,۲۷۵	۰,۶۱۵	۱۲,۴۸	۱۱,۴۸
Mجموع					۵,۳۳	

جدول ۷ تغییرات جرم محاسبه شده به روش گرنت در پهنه سیلیسی.

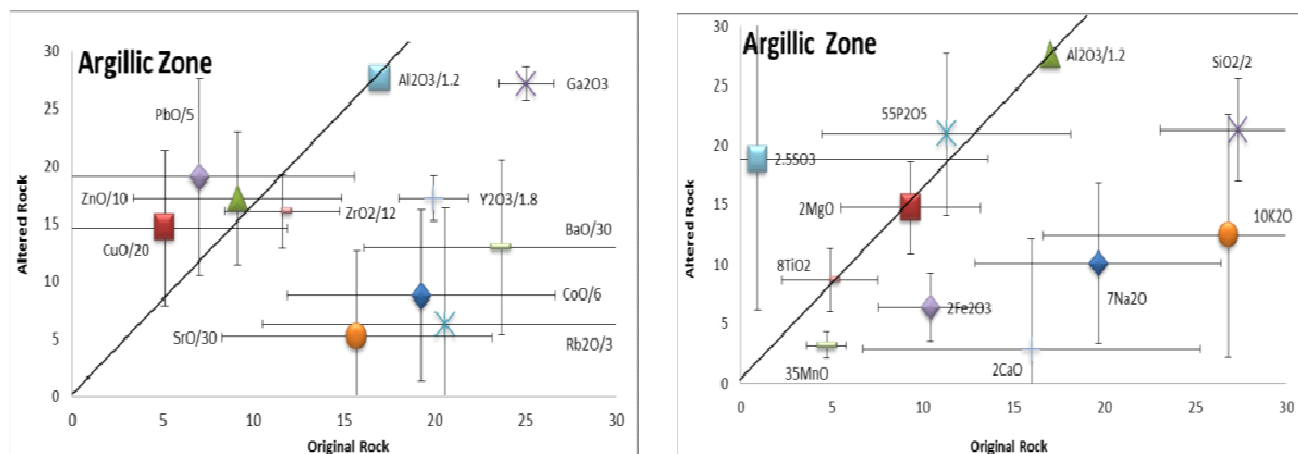
	متوجه اصلی	متوجه متوسط	Ci^A/Ci^O	$C^O_{Al_2O_3}/C^A_{Al_2O_3}$	$(C^O_{Al_2O_3}/C^A_{Al_2O_3}) / (Ci^A/Ci^O)$	افزودگی یا کاهیدگی
Al_2O_3	۲۰,۴	۲۱	۱,۰۳	۰,۹۷۱	۱	-
$5Na_2O$	۱۴,۰۵	۵,۰۹۷۵	۰,۳۶۳	۰,۹۷۱	۰,۳۶	-۰,۶۴
$4MgO$	۱۸,۶۶	۵,۴۸	۰,۲۹۴	۰,۹۷۱	۰,۲۸۵	-۰,۷۱۵
$SiO_2/2.3$	۲۳,۷۸۳	۲۸,۵	۱,۲	۰,۹۷۱	۱,۱۶۵	۰,۱۶۵
$5K_2O$	۱۳,۴	۸,۵	۰,۶۳۴	۰,۹۷۱	۰,۶۱۵	-۰,۳۸۵
$8TiO_2$	۴,۹۰۸	۴,۹۲۸	۱,۰۰۴	۰,۹۷۱	۰,۹۷۵	-۰,۰۲۵
$150MnO$	۲۰,۲۵	۰,۸۵۵	۰,۰۴۲	۰,۹۷۱	۰,۰۴۱	-۰,۹۵۹
$3CaO$	۲۲,۹۷	۱,۵۱	۰,۰۶۳	۰,۹۷۱	۰,۰۶۱	-۰,۹۳۹
$20P_2O_5$	۴,۱۱	۲,۹۸	۰,۷۲۵	۰,۹۷۱	۰,۷۰۴	-۰,۲۹۶
$1.5Fe_2O_3$	۷,۸۱۵	۹,۲۴۷	۱,۱۹	۰,۹۷۱	۱,۱۵	۰,۱۵
Ga_2O_3	۲۵,۰۵	۲۳,۵	۰,۹۴	۰,۹۷۱	۰,۹۱	-۰,۰۸۹
$ZrO/10$	۱۳,۹	۱۲,۵۵	۰,۹۰۳	۰,۹۷۱	۰,۸۷۷	-۰,۱۲۳
$ZnO/20$	۴,۵۶	۱۳,۴	۲,۹۴	۰,۹۷۱	۲,۸۵۵	۱,۸۵۵
$Rb_2O/3$	۲۰,۰۸	۱۰,۶۳	۰,۵۱۶۶	۰,۹۷۱	۰,۵۰۲	-۰,۴۹۸
$SrO/20$	۲۲,۰۵	۱۵,۱	۰,۶۴۱۲	۰,۹۷۱	۰,۶۲۳	-۰,۳۷۷
$Y_2O_3/3$	۱۱,۹۷۷	۵,۵۸۳	۰,۴۶۷	۰,۹۷۱	۰,۴۵۳	-۰,۵۴۷
$PbO/5$	۷,۰۲	۲۵,۱	۳,۵۷۵	۰,۹۷۱	۳,۴۷۳	۲,۴۷۳
$BaO/33$	۲۱,۰۳	۲۶,۶۷	۱,۲۴	۰,۹۷۱	۱,۲۰۳	۰,۲۰۳
$CoO/8$	۱۴,۴۴	۱۵,۶۶	۱,۰۸۵	۰,۹۷۱	۱,۰۵۴	۰,۰۵۴
$CuO/17$	۵,۹۹	۹,۵۶	۱,۵۹۶	۰,۹۷۱	۱,۰۵	۰,۰۵۵
$15SO_3$	۵,۵۷۱	۲۵,۱۲۵	۴,۵۱	۰,۹۷۱	۴,۳۸۱	۲,۳۸۱
مجموع						۳,۲۳۲



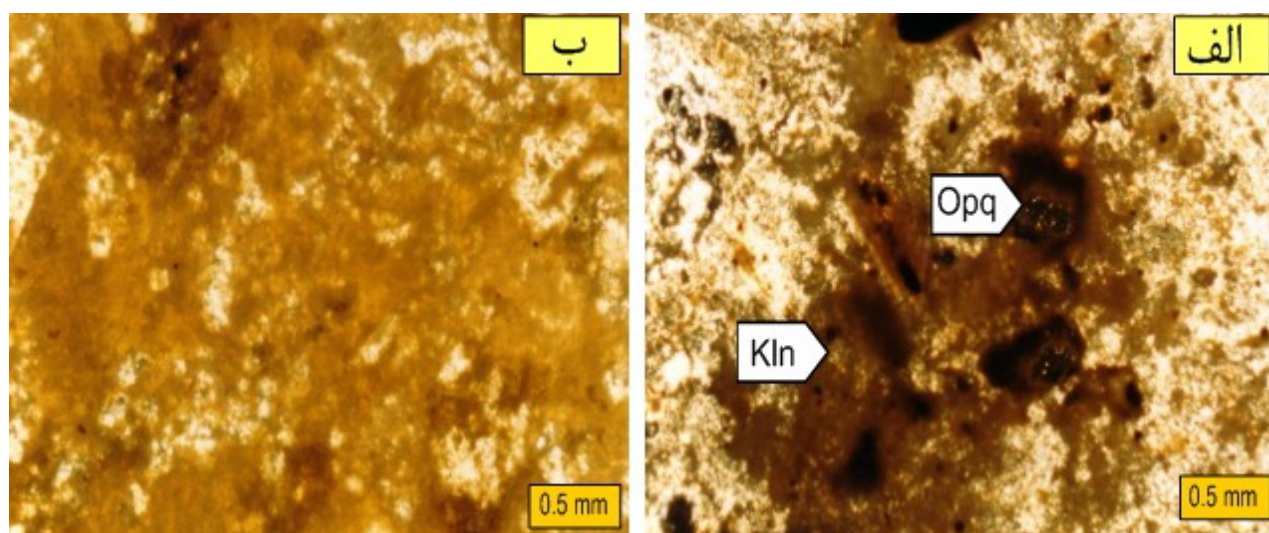
شکل ۹ نمایش تغییرات (الف) عناصر اصلی و (ب) فرعی بصورت ایزوکن در پهنه پروپیلیتی.



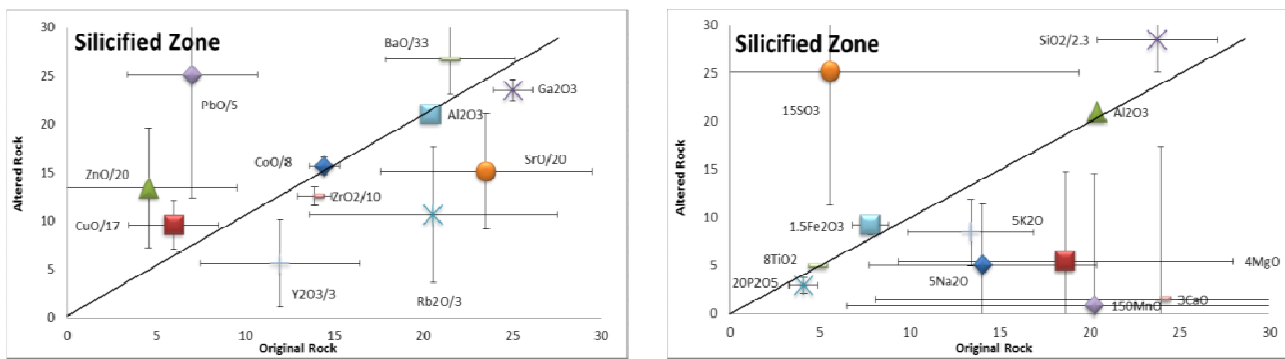
شکل ۱۰ تبدیل آمفیبول به کلریت، اپیدوت و کلسیت و ایجاد دگرسانی پروپیلیتی. (نور Chl(XPL)، Amp: کلریت، Cal: کلسیت، Ep: آمفیبول، Chl: نور). عالیم کانی ها بر اساس مرجع [۱۹].



شکل ۱۱ نمایش تغییرات الف) عناصر اصلی و ب) فرعی بصورت ایزوکن در پهنه آرژیلی.



شکل ۱۲ تبدیل فلدسپار به کانی های رسی کائولینیتی و مونت موریلونیتی و ایجاد دگرسانی آرژیلی. (نور Kln(XPL)، Opq: کانی های رسی کائولینیتی و مونت موریلونیتی). عالیم کانی ها بر اساس مرجع [۱۹].



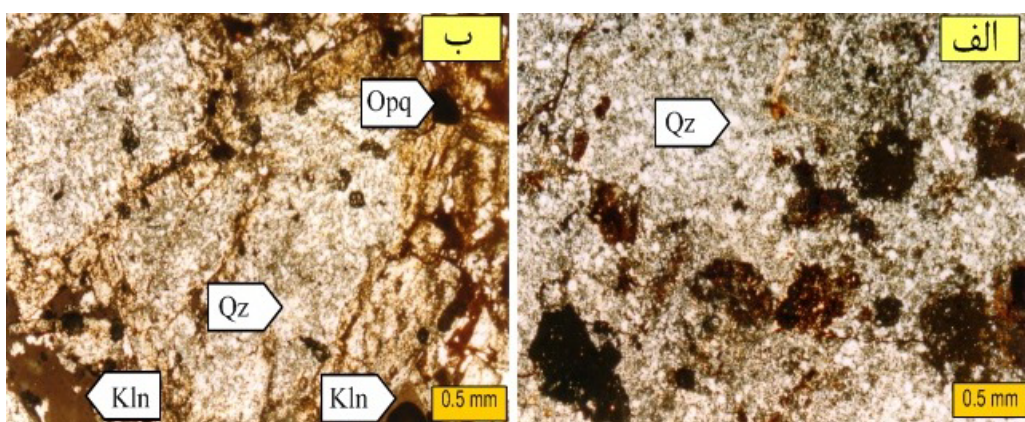
شکل ۱۳ نمایش تغییرات (الف) عناصر اصلی و (ب) فرعی بصورت ایزوکن در پهنه سیلیسی.

کاهیدگی عنصر گالیم که عنصر هم ریخت آلومینیوم است را می‌توان تا حدی به بیشتر بودن خواص بازی نسبت داد که در شرایط اسیدی محیط، از مجموعه خارج شده است. در مورد بی‌تحرک بودن عناصر گوگرد، مس، سرب و روی می‌توان گفت که این عناصر به احتمال زیاد طی دگرسانی آرژیلی اولیه دچار غنی‌شدگی شده‌اند ولی مقداری از آنها طی دگرسانی بروزنزاد سیستم از مجموعه خارج شده‌اند. بخشی از گوگرد موجود در شبکه کانی‌های سولفیدی چون پیریت در شبکه کانی‌ای آلونیت، جاروسیت و ژیپس جای گرفته است. در مورد کاهیدگی عنصر سیلیسیم نیز بخشی از آن طی دگرسانی آرژیلی اولیه بصورت محلول از سیستم خارج شده و بخشی از آن نیز طی دگرسانی‌های بروزنزاد که موجب تشدید دگرسانی آرژیلی اولیه شده از محیط خارج گردیده است. شاهد این مدعای می‌تواند تشکیل کانی گیسیت در پهنه آرژیلی باشد.

(پ) تغییرات عناصر در پهنه سیلیسی: افزودگی و کاهیدگی عناصر مطابق شکل ۱۳ با تغییرات جرم عناصر که به روش گرنت محاسبه شده است (جدول ۷) همخوانی دارد. در این پهنه عناصر افزوده شده شامل S, Pb, Zn, Cu, Ba, Si, P, Fe, Mn, Mg, Sr, Y, Ga, K, Na, Ca, Mn, Al, Ti, Fe, P, Co, Rb هستند. عناصر بی‌تحرک شامل Fe, Ti, Mn, Al, P, Zr, S, Mg, Ga, Si, K, Na, Ca, Fe, Mn, Y, Sr, Co, Rb و Ba هستند. با توجه به قرارگیری این پهنه در بالای پهنه آرژیلی می‌توان گفت، که رگچه‌های سیلیسی موجود در این پهنه در نتیجه تزریق مقداری سیلیس محلول پیامد ایجاد پهنه دگرسانی آرژیلی بوده و بخشی از این افزایش نیز به دلیل شستشوی بقیه عناصر است. شستشوی عناصر سدیم، پتاسیم و کلسیم و منیزیم نیز باعث تشکیل کانی‌های رسی در این پهنه شده است (شکل ۱۴) و عناصر مس، سرب و روی بهمراه گوگرد غنی‌شدگی نشان می‌دهند.

(الف) تغییرات عناصر در پهنه پروپیلیتی: افزودگی و کاهیدگی عناصر مطابق شکل ۹ با تغییرات جرم عناصر که به روش گرنت محاسبه شده‌اند (جدول ۵) همخوانی دارد. در این پهنه: عناصر افزوده شده شامل Y, Si, Na, P, Ti, Fe, Mn, Mg, Zr, Cu, Rb, Sr, Ba, Co, Zr, S, Ca, K, Pb, Al هایی که دگرسانی پروپیلیتی را ایجاد کرده‌اند غنی از سدیم، منیزیم، آهن و عناصر فلزی مس، روی و دی اکسید کربن بوده‌اند. این افزودگی عناصر کاملاً هماهنگ با کانی‌های ثانویه تشکیل شده در این پهنه از جمله کلریت، اپیدوت و آلبیت است. عنصر کلسیم در این نوع دگرسانی بعنوان عنصر بی‌تحرک عمل نموده و کلسیم آزاد شده از شبکه آمفیبول در شبکه دو کانی ثانویه جای گرفته است. در برخی نمونه‌ها، همراه کلریت کانی کلسیت دیده می‌شود که نشان‌دهنده غنی‌بودن محلول دگرسان کننده از CO_2 و ترکیب آن با کلسیم آزاد شده از شبکه آمفیبول و تشکیل کلسیت است و در برخی دیگر از نمونه‌ها کانی آمفیبول به کانی اپیدوت دگرسان شده و کلسیم آزاد شده در ساختمان این کانی جای گرفته است (شکل ۱۰).

(ب) تغییرات عناصر در پهنه آرژیلی: افزودگی و کاهیدگی عناصر مطابق شکل ۱۱ با تغییرات جرم عناصر که با روش گرنت محاسبه شده است (جدول ۶) همخوانی دارد. در این پهنه عناصر بی‌تحرک شامل Al, Ti, Mg, S, Fe, Mn, Ga, Si, K, Na, Ca, Fe, Mn, Y, P, Pb, Sr, Co, Rb و Ba هستند. چنان که دیده می‌شود محلول اسیدی که دگرسانی آرژیلی را ایجاد کرده، موجب شستشوی سدیم، کلسیم، پتاسیم، روبيدیم و استرانسیم از فلدسپارها و آمفیبول شده و زمینه را برای تشکیل کانی‌های رسی چون مونت موریلوبنیت و کائولینیت فراهم نموده است (شکل ۱۲).



شکل ۱۴ سیلیسی شدن در نتیجه شسته شدن کاتیون‌ها و آرژیلی شدن. نور (XPL)، Opq: کوارتز، Qz: کانی‌های کدر، Kln: کانی‌های رسی. عالیم کانی‌ها بر اساس مرجع [۱۹].

northeastern Iran", Geological Society of American Bulletin 103 (1991) 983- 993.

[2] Ghorbani M., "The Economic Geology of Iran (Mineral Deposits and Natural Resources)" national geoscience database of IRAN (2002). (Persian book).

[3] Calagari A. A., "Geochemical, stable isotope, noble gas and fluid inclusion studies of mineralization and alteration at Sungun porphyry copper deposit (East Azarbaijan), Iran: Implication, Unpublished PhD. Thesis", Manchester university, (1997) 537.

[4] Kamali A., Moayyed M., Amel N., Hoseinzadeh M. R., "Mineralogy and mineral chemistry of quartz-dioritic dykes of Sungun Mo-Cu porphyry deposit (NW Iran)" Iranian Journal of Crystallography and Mineralogy 25(1), (2017) 123-138. (In Persian).

[5] Hasanpour Sh., Rasa E., Heydari M., Moayyed M., "Geology, alteration and mineralization in Cu - Mo Porphyry deposit in Haftcheshmeh" Iranian Journal of Geology 15, (2010) 15-28. (In Persian)

[6] Simmonds V., Calagari A., Moayyed M., Jahangiri A., "Petrologic and petrogenetic study of Kighal porphyry stock, north of Varzeghan, East-Azerbaijan province, NW Iran" Iranian Journal of Geology 13, (2010) 47-60. (In Persian)

[7] Mohammadi B., "A brief report on the semi-detailed exploration of Au, Cu and Mo in the

برداشت

با توجه به بافت قشری، کاکلی، شانه‌ای و رورشده رگه‌های سیلیسی و همراهی کانی‌های کربناتی بصورت رگه و رگچه‌های فاز نهایی در این رگه‌ها، کانه‌های سولفیدی گالن، اسفالاریت، کالکوپیریت، پیریت و تترائدریت، تشکیل پنهان آرژیلی حد واسط، کنترل ساختاری رگه‌ها توسط پنهنه‌های برشی و گسلی، نوع سنگ‌های در برگیرنده، مقدار حجمی حدود ۱۰ تا ۱۵ درصدی کانی‌های سولفیدی در رگه‌های سیلیسی، تمرکز بیشتر رگه‌های کوارتزی در نزدیکی دایک‌های ریزدیوریتی و داسیت آندزیتی، کانه‌زایی رخ داده در منطقه هیزه جان از نوع سولفیداسیون حد واسط (IS) است. همچنین با توجه به نتایج بررسی‌های ضریب همبستگی اسپیرمن، شکل‌گیری طلا و نقره به اهمیت کمپلکس‌های کلریدی در انتقال فلزات پایه و نقره و همچنین کمپلکس‌های بی سولفیدی طلا در دماهای زیر ۳۵° درجه سانتی گراد، می‌توان پایین بودن این همبستگی را توجیه کرد. نتایج بررسی‌های زمین شیمی دگرسانی‌ها نیز با نوع کانی‌های تشکیل شده همخوانی کامل دارد.

مراجع

- [1] Alavi M., "Sedimentary and structural characteristics of the Paleo- Thethys remnants in

- Varzghan"* Geological Survey of Iran, Tehran (1992).
- [17] Shahabpour J., "Economic geology" shahid bahonar University, kerman (2001) 543 pp, (Persian book).
- [18] Nakhjavani B., "Investigation of alteration, formation and mineralization of Au and other associated elements in the region of HizaJan (northwest of Varzaghan)" MSc Thesis, Tabriz university (2005) 101pp. (In Persian).
- [19] Whitney D.L., Evans B.W., "Abbreviations for names of rock-forming minerals", American mineralogist, (2010) 95, 158-187.
- [20] Hedenquist J.W., Arribas A., "Exploration for Epithermal Gold deposits", SEG Reviews, (2000) 245-277.
- [21] Sillitoe H. R., Hedenquist J. W., "Linkage between volcanotectonic settings, ore-fluid compositions, and epithermal precious- metal deposits", Society of Economic Geologist, Special Publication 10 (2003) 315-343.
- [22] Ebrahimi S., Yovan m., Alirezaei S., Mehrpato M., "Study of mineralogy and fluid inclusions in Sharafabad Au deposit, Northwest of Iran" Journal of Earth Sciences 71(2009) 149-154. (In Persian).
- [23] Ebrahimi S., Alirezaei S., YuanMing Pan P., "Various epithermal precious metal system in the Urmieh- Dokhtar magmatic assemblage, Iran", Goldschmidt Conference abstracts (2009) A318.
- [24] Jamali H., Mehrabi B., "Relathionships between arc maturity and Cu- Mo- Au porphyry and related epithermal mineralization at the cenezoic Arasbaran magmatic belt", Ore geology Reviews 65 (2015) 487- 501.
- [25] Maghsoudi A., Rahmani M., Rashidi B., "Deposits and Indices of gold in Iran" Arian zamin (1384). (Persian book).
- [26] Abedini A., "Mineralogy and geochemistry of the Hizeh-Jan kaolin deposit, northwest of Varzaghan, East-Azrbaidjan Province, NW Iran" 24(4) (2017) 647-660. (In Persian)
- Masjed daghi area"* Geological Survey of Iran, Tehran (2004). (In Persian).
- [8] Mollai H., Yaghoubpur A. H., Sharifiyan Attar R., "Geology and geochemistry of skarn deposits in the northern part of Ahar batholith, East Azarbaijan, NW Iran", Iranian Journal of Earth Sciences 1, 15- 34.
- [9] Alavi S. Gh., Moayyed M., Hoseinzadeh M.R., "Petrography, Geochemistry and Petrology of Sheyvardagh Batholith (North of Ahar, East Azerbaijan)" Iranian Journal of Geology 33(2015) 105-122. (In Persian)
- [10] Heidarzadeh R., "Mineralogy, alteration and genesis of Au mineralization in Zaglik- Sarilar region" MSc Thesis in economic geology, Institute of Earth Science, Geological Survey of Iran, Iran (2006) (In Persian).
- [11] Gholamichichakli S., "Geology and factors controlling mineralization of Au zones in the Miverod deposit in Kharvana region (East Azarbaijan)" MSc Thesis, Islamic Azad University, Iran, Tehran north Unit (2001). (In Persian)
- [12] Jamali H., "Study of geology, geochemistry and determination of possible genes of Mivehrod Polymetal deposit in East Azarbaijan" MSc Thesis in economic geology. Tarbiat Moalem University (1998). (In Persian)
- [13] Zonozi R., "Mineralogy and genesis of Au mineralization in the Masjed daghi area, south east of Jolfa" MSc Thesis, Islamic Azad University, Iran, Tehran (2006). (In Persian)
- [14] Ghadimzadeh H., "Economic geology and gold Exploration in the SafiKhanlou- noghdoz Exploration Area (Southeast of Ahar)" MSc Thesis in economic geology, Institute of Earth Science, Geological Survey of Iran, Iran(2002). (In Persian).
- [15] Pornik B., "A detailed gold exploration report in the SharafAbad- Hizajan Exploration Area" Geological Survey of Iran (2006). (In Persian)
- [16] Mehrpartou, M., Aminifazl, A and Radfar J., "Geological quadrangle map 1:100000 of

- [30] Hasanipak A. A., "*Principles of Geochemical Exploration*" University of tehran(1998) (Persian book).
- [31] Grant J.A., "*The Isocon Diagram- A simple solution to Gresens equation for metasomatic alteration*", Economic Geology 81 (1986).
- [27] Barns H. L., "*Geochmistry of Hydrothermal Ore deposit*", third edition, John Wiley& Sons, Inc, (1997) 972.
- [28] Drake H., Tullborg E. L., Annersten, H., "*Red- staining of the wall rock and it's influence on the reducing capacity around water conducting fractures*", Applied Geochemistry 23 (2008) 1898-1920.
- [29] Corbett G.J., Leach T.M., "*Southwest Pacific rim gold-copper systems: Structure, alteration and mineralization*", Economic Geology, Special Publication 6 (1998) 238.